

## ФОТОЭЛЕКТРИЧЕСКИЕ СВОЙСТВА СТРУКТУР НА ОСНОВЕ CdGeP<sub>2</sub> И ЕГО БИНАРНОГО АНАЛОГА InP

Г. А. Медведкин, Ю. В. Рудь, М. А. Таиров, Ю. К. Ундалов

Жидкостная эпитаксия бинарных соединений III—V получила широчайшее развитие в полупроводниковой оптоэлектронике при создании идеальных гетероструктур из бинарных полупроводниковых соединений III—V [1]. В данной работе исследуется возможность жидкостной эпитаксии фосфида индия на подложки его тройного аналога CdGeP<sub>2</sub> с решеткой типа халькопирита и рассмотрены результаты первых исследований фотоэлектрических процессов в полученных фоточувствительных структурах.

Гетероструктуры (ГС) получали методом жидкостной эпитаксии в замкнутой вакуумированной системе (кварцевый контейнер). Процесс выращивания слоев InP осуществлялся

из разбавленного раствора фосфора в расплаве индия или индия и кадмия (1 : 1). Слои выращивали в интервале температур 690—630 °C при скоростях охлаждения ~60 K/ч. В качестве подложек использовались монокристаллы CdGeP<sub>2</sub>, как специально не легированные ( $n=10^{10} \text{ см}^{-3}$  при 300 K), так и легированные индием ( $n=10^{13}-10^{14} \text{ см}^{-3}$  при 300 K). Выращивание слоев проводилось в большинстве случаев в вакуумированном контейнере, а в ряде случаев свободный объем контейнера заполнялся аргоном либо порошком тройного соединения. Во всех опытах достигался сплошной рост слоя с зеркальной поверхностью, граница раздела ГС не имела макротрещин и была достаточно совершенной. Сопротивление подложек из CdGeP<sub>2</sub>, как правило, на несколько порядков превышало сопротивление легированных примесью кадмия слоев *p*-InP. После наращивания слоя ГС обрабатывались полирующим травителем и снабжались омическими контактами. Толщины слоя были в пределах 0.1—1 мкм, а подложек 100—200 мкм.

Темновая вольт-амперная характеристика (ВАХ) одной из лучших структур *p*-InP—*n*-CdGeP<sub>2</sub>(In) при 300 K представлена на рис. 1. Как видно, ГС обладает ярко выраженным выпрямлением.

Рис. 1. Темновая ВАХ гетероструктуры *p*-InP—*n*-CdGeP<sub>2</sub>(In).  
1 — прямое, 2 — обратное смещение; T = 300 K.

В подавляющем большинстве изотипных и анизотипных ГС пропускному направлению соответствовало положительное напряжение, прикладываемое к подложке из CdGeP<sub>2</sub>, и только в отдельных изотипных *p*—*p*-ГС отрицательное напряжение на CdGeP<sub>2</sub> отвечало пропускному направлению. В лучших ГС при 300 K коэффициент выпрямления достигал 400 при U = 2 В. На прямой ветви ВАХ таких ГС можно было выделить две области. При низких напряжениях (U < 0.3 В при 300 K) ток, по-видимому, имеет рекомбинационную природу и может быть представлен выражением  $I=I_0 \exp(eU/\beta kT - 1)$  с  $\beta=2.0-2.1$ , тогда как в области более высоких напряжений  $I \sim \exp A U$ , что характерно для туннельной природы тока. Обратная ВАХ при U ≤ 1 В описывается зависимостью  $I \sim U$ , а при высоких напряжениях вплоть до 30 В  $I \sim U^m$  с  $m=4-5$ , что также не противоречит предположению о туннельном механизме протекания тока [2]. В области 30—35 В на обратной ВАХ обычно наблюдался мягкий пробой.

При освещении ГС через широкозонную подложку перпендикулярно границе раздела генерировалось фотонапряжение, приблизительно на порядок величины более высокое, чем со стороны тонкого узкозонного слоя, и достигало в лучших образцах 0.3—0.4 В при 300 K, вольтовая фоточувствительность  $S_u \approx 10^4 \text{ В/Бт}$ , а токовая  $S_i \approx 10 \text{ мА/Бт}$ . С понижением температуры до 80 K фоточувствительность полученных ГС снижалась по отношению к 300 K на 2—3 порядка величины. В большинстве *p*—*p*- и *p*—*n*-ГС подложка из CdGeP<sub>2</sub> заряжалась

положительно при освещении интегральным светом со стороны подложки и отрицательно при освещении структур со стороны узкозонного слоя.

На рис. 2 приведены типичные спектры фототока короткого замыкания  $i(\hbar\omega)$  для  $p-p$ -и  $p-n$ -гетероструктур. Только в случае изотипных  $p-p$ -гетероструктур фототок во всей области фоточувствительности и независимо от места попадания излучения на потенциальный барьер течет в одном направлении, причем подложка  $p$ -CdGeP<sub>2</sub> имеет положительную

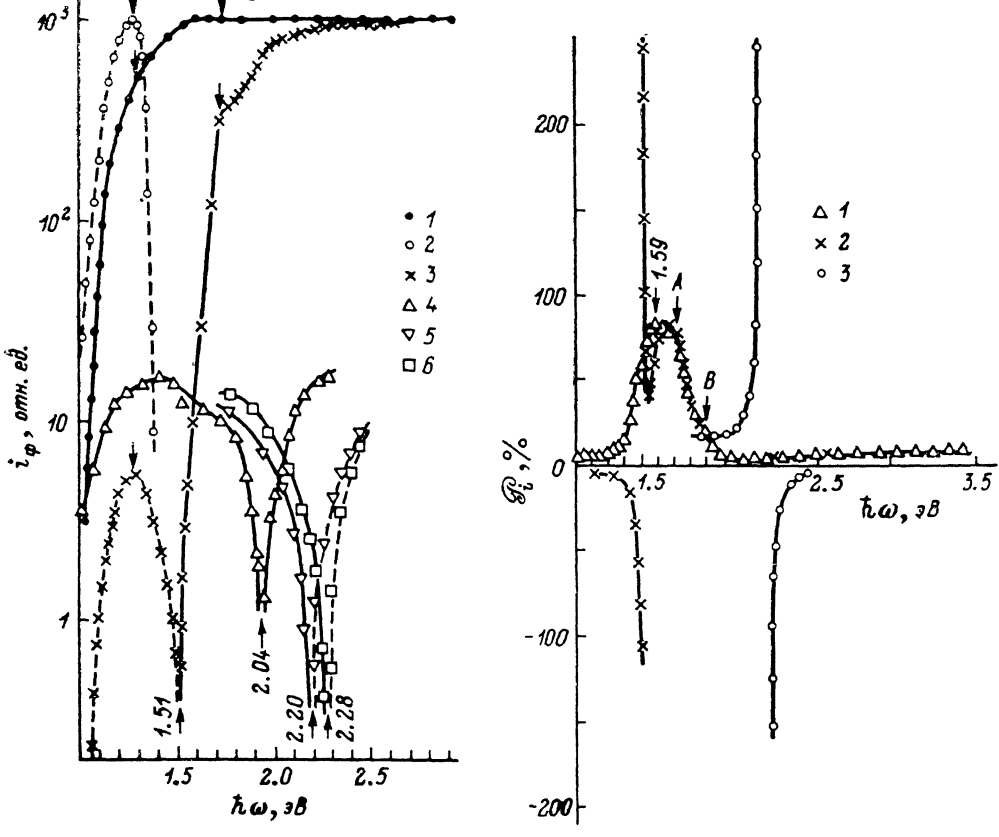


Рис. 2. Спектральные зависимости фототока гетероструктур  $p$ -InP- $p$ -CdGeP<sub>2</sub> (1) и  $p$ -InP- $n$ -CdGeP<sub>2</sub> (2-6) при  $T=300$  К.

1, 2 — освещение со стороны InP; 3-6 — со стороны CdGeP<sub>2</sub>; 1-4 — неполяризованный свет; 5, 6 — линейно поляризованный свет; гетерограница ориентирована в плоскости (100), освещение вдоль нормали к освещаемой плоскости (100) CdGeP<sub>2</sub>, стрелки у кривых  $E_G^{(1)}$  и  $E_G^{(2)}$  указаны значения ширины запрещенных зон InP и CdGeP<sub>2</sub>; сплошные кривые — положительные полярности фототока на CdGeP<sub>2</sub>, штриховые — отрицательные;  $U_{\text{пр}}$ , В: 1-3 — 0; 4 — 1.3; 5, 6 — 3.2.

Рис. 3. Спектры фотоплеохроизма гетероструктур  $p$ -InP- $n$ -CdGeP<sub>2</sub>(In) при различных напряжениях прямого смещения.

$T=300$  К;  $U_{\text{пр}}$ , В: 1, 2 — 0, 3 — 3.2; 1 — образец 35; 2, 3 — образец 30.

полярность. Длинноволновая граница фоточувствительности таких ГС определяется фундаментальным поглощением в фосфиде индия (рис. 2, кривая 1) и фототок не обнаруживает коротковолнового спада в глубине фундаментального поглощения CdGeP<sub>2</sub>, что указывает на возможность использования гетерограницы между бинарным и тройным аналогами в качестве достаточно эффективного барьера, спектральный контур фоточувствительности которого отвечает требованиям к материалу для солнечных элементов.

Для полученных структур типичною оказалась инверсия знака фототока по спектру при освещении со стороны  $n$ -CdGeP<sub>2</sub> (рис. 2, кривая 3), тогда как при освещении со стороны тонкого слоя  $p$ -InP фоточувствительность обычно на 1-2 порядка ниже, чем при освещении со стороны подложки. В последнем случае фоточувствительность доминирует в области фундаментального поглощения InP и подложка имеет отрицательную полярность. При освещении со стороны подложки, напротив, CdGeP<sub>2</sub> заряжается положительно в области фун-

даментального поглощения тройного соединения, а инверсия знака фототока наступает вблизи  $E_G^{(1)}$ . Следовательно, знак фототока  $p-n$ -ГС в отсутствие внешнего смещения зависит от места поглощения падающего излучения в ГС. По-видимому, эта закономерность обусловлена образованием в процессах эпитаксии по крайней мере двух неэквивалентных потенциальных барьеров со встречным направлением электрических полей. Смещение таких ГС в запорном направлении, уже начиная с  $U_{обр} > 1$  В, при освещении со стороны CdGeP<sub>2</sub> сопровождается подавлением инверсии, в результате чего фототок во всей области фоточувствительности ( $\hbar\omega > 0.6$  эВ) приобретает положительную полярность на подложке тройного соединения.

При смещении ГС с  $p-n$ -переходом в пропускном направлении (плюс на  $n$ -CdGeP<sub>2</sub>) с ростом  $U_{пр}$  энергетическое положение точки инверсии знака фототока, как видно из рис. 2 (кривые 3—6), смещается в коротковолновую область спектра. Это обусловлено снижением вклада фототока от обратносмещенного энергетического барьера с максимальной фоточувствительностью, который при  $U=0$  обеспечивает фототок противоположной полярности. Исследование фоточувствительности гетероструктур в линейно поляризованном излучении показывает, что поляризационная фоточувствительность доминирует для структур, не имеющих по спектру инверсии знака фототока вблизи  $E_G^{(2)}$ . Поляризационная индикатриса фототока  $p-n$ -ГС описывается типичным для одноосных кристаллов обобщенным законом Малюса [3]. Точка инверсии знака фототока в полученных ГС в поляризованном излучении расщепляется (рис. 2, кривые 5 и 6), в результате чего в определенной области энергий знак  $i$  изменяется в зависимости от положения плоскости поляризации излучения относительно тетрагональной оси CdGePr при  $\hbar\omega=\text{const}$ . Благодаря векторной природе фототока естественный фотоплеохроизм в окрестности точки инверсии знака  $i$  обнаруживает резкое возрастание ( $\mathcal{P}_i \gg 100\%$ ). На рис. 3 приведены типичные спектры естественного фотоплеохроизма  $\mathcal{P}_i(\hbar\omega)$  в режимах фотопреобразования, при которых не наблюдается (кривая 1) или же реализуется поляризационная инверсия знака  $i$  (кривые 2 и 3). Для ГС, в спектре которых инверсия  $i$  отсутствует, спектральный контур естественного фотоплеохроизма имеет типичный для другого типа ГС из CdGePr спектральный контур [4]. Отличие состоит, пожалуй, в том, что максимум фотоплеохроизма смещен в длинноволновую спектральную область и это, по-видимому, обусловлено анизотропным поглощением в интерфейсной активной области данных гетероструктур. Отсутствие инверсии знака  $\mathcal{P}_i$  (рис. 3, кривая 1) плоть до 3.5 эВ указывает на достаточное совершенство гетерограницы в отношении рекомбинации фотогенерированных пар. Как видно из рис. 3, эффект «гигантского» увеличения естественного фотоплеохроизма [3] в полученных  $p-n$ -ГС позволяет существенно превысить характеристическую для безинверсионного режима фотoreгистрации амплитуду  $\mathcal{P}_i \approx 80\%$ . За счет увеличения напряжения смещения достигается экспрессия перестройка спектрального положения точки инверсии, в окрестности которой «гигантский» фотоплеохроизм резко возрастает до амплитуды 500—1000 %.

Полученные результаты позволяют указать на перспективность применения системы InP—CdGeP<sub>2</sub> при создании фотопреобразователей солнечной энергии и фотоанализаторов с «гигантской» поляризационной чувствительностью.

### Список литературы

- [1] Андреев В. М., Долгинов Л. М., Третьяков Д. Н. Жидкостная эпитаксия в технологии полупроводниковых приборов / Под ред. Ж. И. Алферова. М.: Сов. радио, 1975. 328 с.
- [2] Миллс А., Фойхт Д. Гетеропереходы и переходы металл—полупроводник. М.: Мир, 1972. 344 с.
- [3] Рудь Ю. В. // Изв. вузов СССР. Физика. 1986. Т. 29. № 6. С. 68—83.
- [4] Лунев А. В., Рудь Ю. В., Таиров М. А., Ундалов Ю. К. // Препринт ФТИ АН СССР. № 1147. Л., 1987. 57 с.

Физико-технический институт  
им. А. Ф. Иоффе АН СССР  
Ленинград

Поступило в Редакцию  
15 августа 1989 г.